

Équation d'ondes dans un milieu isotropeÉquation de Navier ~~et~~ et Cauchy

$$\rho \frac{\partial^2 u_i}{\partial t^2} = \sum_j \frac{\partial G_{ij}}{\partial x_j}$$

équivalent du  
second principe  
de Newton pour MC

$$\text{or } G_{ij} = \lambda \theta \delta_{ij} + 2\mu \epsilon_{ij}$$

$$= \lambda \sum_l \epsilon_{ll} \delta_{ij} + 2\mu \epsilon_{ij} \quad \text{car isotrope}$$

$$\text{ce qui donne } \rho \frac{\partial^2 u_i}{\partial t^2} = \sum_{j=1}^3 \frac{\partial}{\partial x_j} (\lambda \theta \delta_{ij} + 2\mu \epsilon_{ij})$$

Pour  $i=1$  (dans la direction  $x_1$ )

$$\rho \frac{\partial^2 u_1}{\partial t^2} = \frac{\partial}{\partial x_1} (\lambda \theta + 2\mu \frac{\partial u_1}{\partial x_1}) + \frac{\partial}{\partial x_2} \left[ \mu \left( \frac{\partial u_1}{\partial x_2} + \frac{\partial u_2}{\partial x_1} \right) \right] + \frac{\partial}{\partial x_3} \left[ \mu \left( \frac{\partial u_1}{\partial x_3} + \frac{\partial u_3}{\partial x_1} \right) \right]$$

$$\text{on rappelle que } \theta = \nabla \cdot \underline{u} = \frac{\partial u_1}{\partial x_1} + \frac{\partial u_2}{\partial x_2} + \frac{\partial u_3}{\partial x_3} \quad d=3$$

et comme  $\lambda$  et  $\mu$  sont constants

$$\rho \frac{\partial^2 u_1}{\partial t^2} = \lambda \frac{\partial^2 u_1}{\partial x_1^2} + \lambda \frac{\partial^2 u_2}{\partial x_1 \partial x_2} + \lambda \frac{\partial^2 u_3}{\partial x_1 \partial x_3} + \mu \frac{\partial^2 u_1}{\partial x_1^2} + \mu \frac{\partial^2 u_1}{\partial x_1^2} + \mu \frac{\partial^2 u_2}{\partial x_1^2} + \mu \frac{\partial^2 u_2}{\partial x_1 \partial x_2} + \mu \frac{\partial^2 u_3}{\partial x_1^2} + \mu \frac{\partial^2 u_3}{\partial x_1 \partial x_3}$$

donc

$$\rho \frac{\partial^2 u_1}{\partial t^2} = (\lambda + \mu) \frac{\partial^2 u_1}{\partial x_1^2} + (\lambda + \mu) \frac{\partial^2 u_2}{\partial x_1 \partial x_2} + (\lambda + \mu) \frac{\partial^2 u_3}{\partial x_1 \partial x_3} + \mu \left( \frac{\partial^2 u_1}{\partial x_1^2} + \frac{\partial^2 u_2}{\partial x_1^2} + \frac{\partial^2 u_3}{\partial x_1^2} \right)$$

$$\rho \frac{\partial^2 u_i}{\partial t^2} = (1+\mu) \frac{\partial}{\partial x_i} \left( \frac{\partial u_1}{\partial x_1} + \frac{\partial u_2}{\partial x_2} + \frac{\partial u_3}{\partial x_3} \right) + \mu \left( \frac{\partial^2 u_1}{\partial x_1^2} + \frac{\partial^2 u_2}{\partial x_2^2} + \frac{\partial^2 u_3}{\partial x_3^2} \right)$$

$$\theta = \text{div } \underline{u} = \nabla \cdot \underline{u}$$

idem pour  $i=2$  et  $i=3$

$$\rho \frac{\partial^2 u_i}{\partial t^2} = (1+\mu) \frac{\partial}{\partial x_i} (\nabla \cdot \underline{u}) + \mu \sum_{j=1}^3 \frac{\partial^2 u_j}{\partial x_j^2}$$

on associe les trois composantes

$$\rho \frac{\partial^2 \underline{u}}{\partial t^2} = (1+\mu) \nabla (\nabla \cdot \underline{u}) + \mu \nabla^2 \underline{u} \quad \leftarrow \text{laplacien vectoriel}$$

$$\text{on } \nabla^2 \underline{u} = \nabla (\nabla \cdot \underline{u}) - \nabla \times (\nabla \times \underline{u}) \quad (\text{voir feuille meth } 1)$$

$$\text{donc on obtient } \rho \frac{\partial^2 \underline{u}}{\partial t^2} = (1+2\mu) \nabla (\nabla \cdot \underline{u}) - \mu \nabla \times (\nabla \times \underline{u})$$

En divisant toute l'équation par  $\rho$  et en posant

$$\alpha^2 = \frac{1+2\mu}{\rho} \quad \text{et} \quad \beta^2 = \frac{\mu}{\rho}$$

$$\text{on a } \frac{\partial^2 \underline{u}}{\partial t^2} = \alpha^2 \nabla (\nabla \cdot \underline{u}) - \beta^2 \nabla \times (\nabla \times \underline{u}) \quad (1)$$

On a déjà rencontré  $\nabla \cdot \underline{u}$  (divergence de  $\underline{u}$ ) et on

$$\text{a introduit } \theta = \nabla \cdot \underline{u} = \frac{\Delta V}{V} \quad (\text{variation de volume})$$

On peut également introduire  $\underline{v} = \text{rot } \underline{u} = \nabla \times \underline{u}$

Sous un système cartésien,

$$\underline{v} = \begin{pmatrix} \frac{\partial u_3}{\partial x_2} - \frac{\partial u_2}{\partial x_3} \\ \frac{\partial u_1}{\partial x_3} - \frac{\partial u_3}{\partial x_1} \\ \frac{\partial u_2}{\partial x_1} - \frac{\partial u_1}{\partial x_2} \end{pmatrix} \quad (\text{voir cours rotationnel})$$

On peut aussi parfois rencontrer

$$v_i = \sum_j \sum_k \epsilon_{ijk} \frac{\partial u_k}{\partial x_j}$$

↑  
tenseur de Levi-Civita

et finalement l'équation (1) devient

$$\frac{\partial^2 \underline{u}}{\partial t^2} = \alpha^2 \underline{\nabla} \theta - \beta^2 \underline{\nabla} \times \underline{v} \quad (2)$$

$\alpha$  agit sur  $\theta$   $\rightarrow$  variation de volume

$\beta$  agit sur  $\underline{v}$   $\rightarrow$  cisaillement (changement de forme sous variation de volume).

En 1829, s'appuyant sur le théorème d'Helmholtz, Poisson montra que à un point quel vecteur déplacement  $\underline{u}$  peut se décomposer grâce à deux potentiels :

- un potentiel scalaire  $\phi$

- un potentiel vecteur  $\underline{\psi}$  divergence nulle

tel que  $\underline{u} = \underline{\nabla} \phi + \underline{\nabla} \times \underline{\psi}$  et  $\underline{\nabla} \cdot \underline{\psi} = 0$

En appliquant cette relation à l'éq (2) on peut écrire que

$$\underline{\nabla} \cdot \underline{u} = \underline{\nabla} \cdot (\underline{\nabla} \phi + \underline{\nabla} \times \underline{\psi}) = \underline{\nabla} \cdot \underline{\nabla} \phi + \underbrace{\underline{\nabla} \cdot \underline{\nabla} \times \underline{\psi}}_{=0 \text{ toujours}}$$

et  $\underline{\nabla} \cdot \underline{u} = \underline{\nabla} \cdot \underline{\nabla} \phi = \nabla^2 \phi$  laplacien scalaire

donc  $\theta = \nabla^2 \phi$

Pour le rotationnel de  $\underline{u}$   $\underline{\nabla} \times \underline{u} = \underline{\nabla} \times (\underline{\nabla} \phi + \underline{\nabla} \times \underline{\psi})$

$$= \underline{\nabla} \times \underline{\nabla} \times \underline{\psi} \quad \text{car } \underline{\nabla} \times \underline{\nabla} \phi = 0$$

Comme  $\underline{\nabla} \cdot \underline{\psi} = 0$  on peut le réécrire et

$$\underline{\nabla} \times \underline{u} = \underline{\nabla} \times \underline{\nabla} \times \underline{\psi} - \underline{\nabla} (\underline{\nabla} \cdot \underline{\psi}) = -\nabla^2 \underline{\psi}$$

donc  $\underline{v} = -\nabla^2 \underline{\psi}$

laplacien vectoriel

Il suffit donc maintenant de reprendre l'éq (2) et

de calculer  $\underline{\nabla} \cdot \left( \frac{\partial^2 \underline{u}}{\partial t^2} \right)$  et  $\underline{\nabla} \times \frac{\partial^2 \underline{u}}{\partial t^2}$ .

Commençons par la divergence (dilatation / compression)

$$\underline{\nabla} \cdot \frac{\partial^2 \underline{u}}{\partial t^2} = \alpha^2 \underline{\nabla} \cdot (\underline{\nabla} \theta) - \beta^2 \underline{\nabla} (\underline{\nabla} \cdot \underline{v})$$

L'ordre des dérivées n'importe pas et  $\underline{\nabla} \cdot (\underline{\nabla} \cdot \underline{u}) = 0$  donc (2) devient

$$\frac{\partial^2 \theta}{\partial t^2} = \alpha^2 \nabla^2 \theta$$

À une dimension cela s'écrivait  $\frac{\partial^2 \theta}{\partial t^2} = \alpha^2 \frac{\partial^2 \theta}{\partial x^2}$  c'est l'équation différentielle d'un ressort.

La solution est de la forme  $\theta(x,t) = A \exp[i(\omega t - kx)]$

c'est une onde de dilatation/compression se propageant à la vitesse  $\alpha$  donc  $\frac{\sqrt{\lambda + 2\mu}}{\rho}$

c'est la vitesse des ondes P.

Passons au différentiel rotationnel

$$(2) \rightarrow \underline{\nabla} \times \frac{\partial^2 \underline{u}}{\partial t^2} = \alpha^2 \underline{\nabla} \times (\underline{\nabla} \theta) - \beta^2 \underline{\nabla} \times (\underline{\nabla} \cdot \underline{v})$$

on obtient  $\frac{\partial^2 (\underline{\nabla} \times \underline{u})}{\partial t^2} = -\beta^2 \underline{\nabla} \times (\underline{\nabla} \cdot \underline{v})$  auquel on peut rajouter le terme  $\underline{\nabla} (\underline{\nabla} \cdot \underline{v})$  car  $= 0$  car  $\underline{v} = \underline{\nabla} \times \underline{u}$

$$\text{et } \frac{\partial^2 \underline{v}}{\partial t^2} = -\beta^2 \underline{\nabla} \times (\underline{\nabla} \times \underline{v}) + \beta^2 \underline{\nabla} (\underline{\nabla} \cdot \underline{v})$$

et comme précédemment on obtient  $\frac{\partial^2 \underline{v}}{\partial t^2} = \beta^2 \nabla^2 \underline{v}$

C'est une équation d'ondes propagant une cisaillement

$$\underline{v} = \underline{\nabla} \times \underline{u} \quad \text{à la vitesse } \beta = \sqrt{\frac{\mu}{\rho}}$$

C'est la vitesse des ondes S.

## Sismologie ch 4

la démonstration de  $\frac{\partial^2 \theta}{\partial t^2} = \alpha^2 \frac{\partial^2 \theta}{\partial x^2}$  (à 1D)

ou  $\frac{\partial^2 \theta}{\partial t^2} = \alpha^2 \nabla^2 \theta$  (à 3D) avec  $\theta = \nabla^2 \phi$

d'une côté et de l'autre  $\frac{\partial^2 \underline{V}}{\partial t^2} = \beta^2 \nabla^2 \underline{V}$  avec

$\underline{V} = -\nabla^2 \psi$  a déjà été faite. (cf  $A_1, A_2$ )

On voit vite  $\theta = \nabla \cdot \underline{U}$  divergence de  $\underline{U}(x, t)$

et  $\underline{V} = \nabla \times \underline{U}$

Cela implique d'écrire  $\underline{U}(x, t) = \nabla \phi + \nabla \times \psi$  analogie  $\underline{E}$  et  $\underline{B}$ ?

deux potentiels.

Et finalement  $\alpha^2 = \frac{\lambda + 2\mu}{\rho}$  et  $\beta^2 = \frac{\mu}{\rho}$

Dans les deux cas on a des équations de la forme

$$\frac{\partial^2 f}{\partial t^2} = c^2 \frac{\partial^2 f}{\partial x_1^2} \quad \text{à 1D.}$$

$f$  est une fonction de  $x_1, t$   $f(x_1, t)$

Équation différentielle (aux dérivées partielles) à coeff constant

↳ ressort  $\underline{F} = -Kx_1$   $A_1$  constante raideur

On peut facilement montrer que  $f(x, t) = \exp[i(\omega t - kx_1)]$   
(comme à la propriété des fonctions périodiques)

$$\text{ou } \frac{\partial f}{\partial t} = i\omega \exp[i(\omega t - kx_1)]$$

$$\text{et donc } \frac{\partial^2 f}{\partial t^2} = -\omega^2 \exp[i(\omega t - kx_1)] \\ = -\omega^2 f(x_1, t)$$

Pour la dérivée spatiale

$$\frac{\partial \phi}{\partial x_1} = -ik \exp[i(\omega t - kx_1)]$$

$$\text{d'où } \frac{\partial^2 \phi}{\partial x_1^2} = -k^2 \exp[i(\omega t - kx_1)] \\ = -k^2 f(x_1, t)$$

et d'où

$$\frac{\partial^2 \phi}{\partial t^2} = -\omega^2 \left( -\frac{1}{k^2} \frac{\partial^2 \phi}{\partial x_1^2} \right)$$

$$\rightarrow \frac{\partial^2 \phi}{\partial t^2} = \frac{\omega^2}{k^2} \frac{\partial^2 \phi}{\partial x_1^2} \quad \text{ce qui est vrai si } v^2 = \frac{\omega^2}{k^2}$$

$$\text{Soit } c = \sqrt{\frac{\omega^2}{k^2}} = \frac{\omega}{k} \quad \text{quelle dimension pour } c ?$$

$\omega t$  et  $kx_1$  sont sans dimension

d'où  $\omega \propto [T^{-1}]$  et  $k \propto [L^{-1}]$

$$\frac{\omega}{k} \propto \left[ \frac{L}{T} \right] \quad \text{c'est une vitesse}$$

$c$  est la célérité de l'onde  $f(x_1, t)$

$$\text{Dans notre cas on a donc que } \alpha = \sqrt{\frac{\mu + \lambda}{\rho}}$$

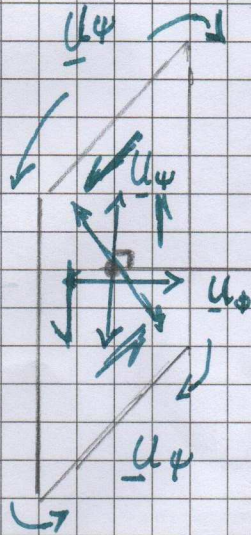
$$\beta = \sqrt{\frac{\mu}{\rho}}$$

Sont les vitesses de deux ondes qui expliquent la même équation - deux solutions car 2 types de déplacements possibles  $\delta$  et  $\underline{v}$  dilatation et cisaillement

$\alpha$  est la vitesse des ondes P ou compressives  $\alpha = \sqrt{\frac{\lambda + \frac{4}{3}\mu}{\rho}}$   
 et  $\beta$  la vitesse des ondes S

⚠ il y a du cisaillement dans les ondes P.

↳ on peut enlever son intérêt acoustique  $\alpha = \sqrt{\frac{K}{\rho}}$   
 des d'air ou l'eau → Liquides



$$\underline{u} = \underline{u}_\phi + \underline{u}_\psi = \underline{\nabla}\phi + \underline{\nabla}_\times \psi$$

⚠  $\alpha$  et  $\beta$  sont des propriétés du milieu.

↳ 3D  $\underline{u}_\phi$  forme une sphère de dilatation/compression et  $\underline{u}_\psi$  des mouvements de torsion → fonctions propres modes propres.

Analyse d'une onde

si  $f(x_1, t) = \exp [i(\omega t + kx_1)]$  on peut

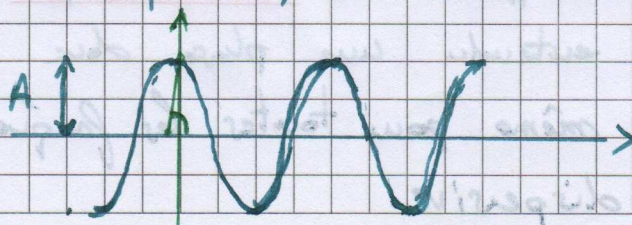
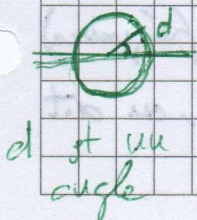
écrire que  $f(x_1, t) = A \exp [i(\omega t - kx_1 + d)]$

A soit alors l'amplitude de l'onde

$\omega$  la pulsation ou la fréquence

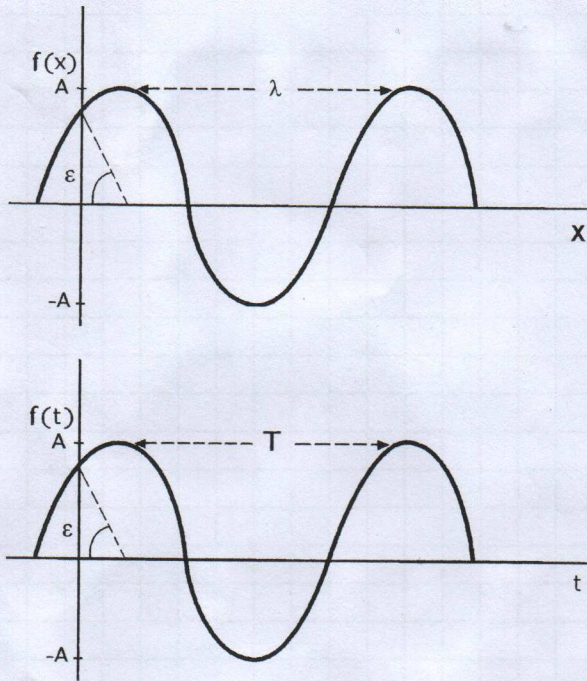
k le nombre d'onde

d le déphasage → (comment est l'onde à  $t=0$  et  $x=0$ )



pour avoir d il faut poser l'origine

Onde : propagation d'énergie à travers un milieu qui dépend donc du temps et de l'espace



$\lambda$  longueur (m) d'onde

distance) mis par que  
temps) le plan est  
une même  
identique

$T$  période (s)

$\omega = \frac{2\pi}{T}$  nb de tours/s ( $\text{rad} \cdot \text{s}^{-1}$ ) pulsation  
mais  $\nu = \frac{1}{T}$  fréquence nb de fois/s fréquence angulaire

$k = \frac{2\pi}{\lambda}$  nombre d'onde  $\vec{k}$  est un  
et  $k$  est dans le norme.  
vecteur

$\omega$  définit que le phénomène se reproduit tous les  $T$  (s),

$k$  définit que le phénomène se reproduit tous les  $\lambda$  (m),

$$c = \frac{\omega}{k}$$

ils sont reliés par ce qu'on appelle la vitesse de phase (sans

entendu une phase dans une fréquence)

si  $c$  n'est pas la même pour toutes les fréquences, on dit que l'onde est dispersive



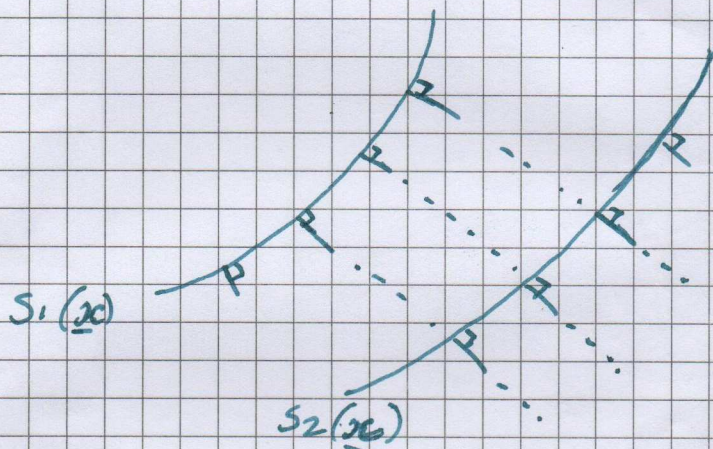
La position  $\underline{x} = (x_1, x_2, x_3)$  du premier mouvement occasionné par l'onde (car au plus elle s'obtient ...) est ~~elle~~ <sup>un point</sup> front d'onde.

Le front d'onde est donc la surface définie pour tous ses points  $S(\underline{x}) = S(x_1, x_2, x_3)$

ou peut étre  $f(\underline{x}, t) = A \exp[i(\omega t - kS(\underline{x}) + \phi)]$

Prenons l'exemple d'une onde dans l'eau

à deux instants  $t_1$  et  $t_2$   $\rightarrow S_1(\underline{x})$  et  $S_2(\underline{x})$



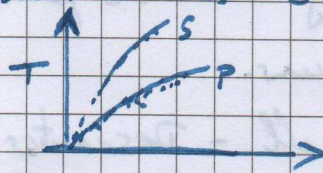
Le vecteur unitaire normal au ~~une~~ point d'un front d'onde définit la direction du rai  $\underline{k}$  vecteur d'onde

C'est localement la direction de la propagation de la déformation (polarisation) qui ~~traverse~~ <sup>affecte</sup> le bout de matière (élément de volume) touché par le front d'onde à cet instant

## 5. Théorie des rais

La théorie des rais en sismologie est analogue à la théorie des rais en optique. Elle permet d'expliquer une très grande partie des observations sismologiques :

- À l'échelle globale

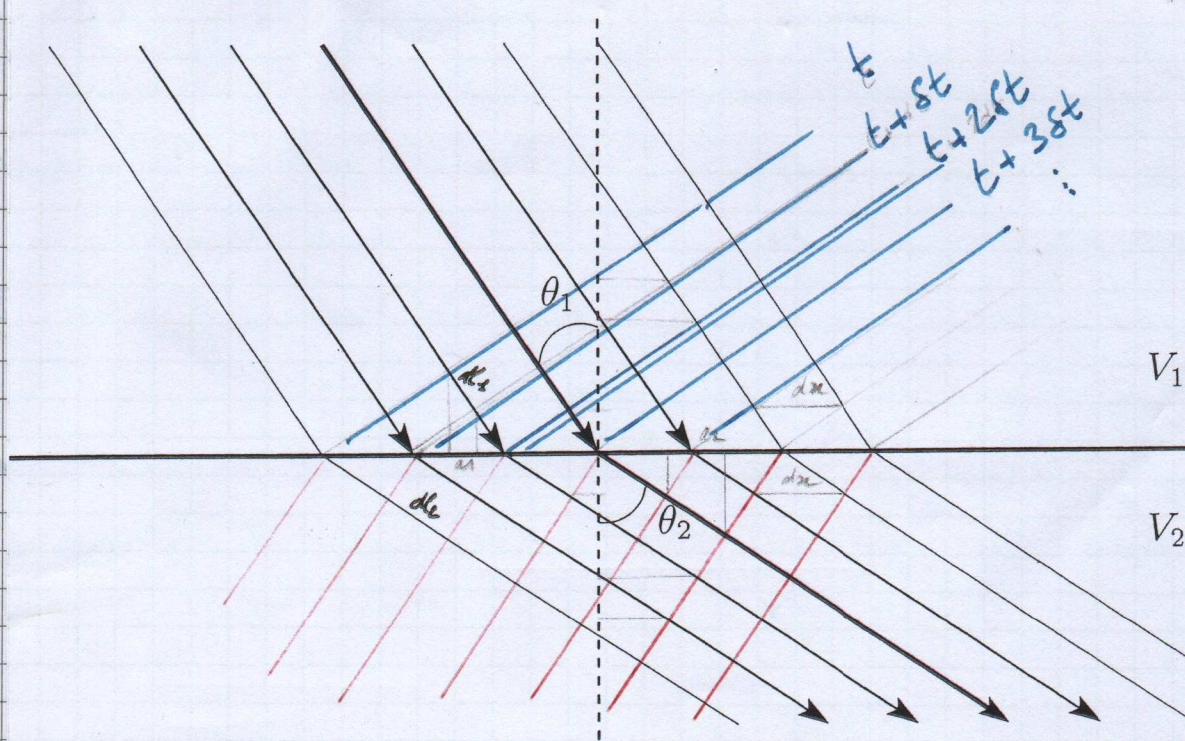


- À l'échelle locale (explication géophysique)

- sismique réfraction
- sismique réflexion

La théorie des rais en sismologie est également utilisée pour la localisation des tremblements de terre, la détermination des mécanismes au foyer et les inversions pour déterminer les propriétés physiques de l'intérieur de la Terre.  $\Delta$  approximation haute fréquence (P, S ou autres plus N)

### 5.1. Loi de Snell - Descartes, paramètre de ray



$\Delta$  en coordonnées cartésiennes!  
(ou sous les sphériques après)

comme on a pu le voir au TD la loi de Snell-Descartes est équivalente au principe de Fermat qui stipule que l'énergie se propage le long du trajet qui minimise le temps de parcours.

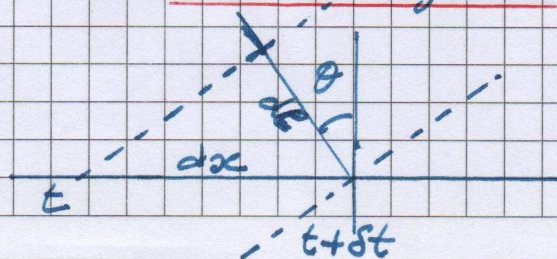
$$\text{Snell - Descartes} \quad \frac{\sin \theta_1}{v_1} = \frac{\sin \theta_2}{v_2} \quad (5.1)$$

Cela équivaut à dire que si on définit  $p = \frac{\sin i}{v}$  (5.2) alors  $p$  est constant le long du ray.

Si on trace les différents fronts d'ondes dans la figure précédente ils sont plus resserrés dans ① et plus espacés dans ②  $\rightarrow$  l'onde se propage donc plus vite dans ②. Pourquoi? Pour une même  $\Delta t$  (par ex: toutes les secondes) la distance entre deux fronts d'ondes est plus grande dans ② (rouge) que dans ① (bleu).

À l'interface on comprend bien que la quantité qui se conserve est la distance horizontale entre deux fronts d'ondes - c'est la seule manière de relier les fronts d'ondes dans ① et ② au niveau de l'interface.

⚠ ce n'est pas la projection sur l'interface mais bien la distance horizontale entre deux fronts d'onde.



On comprend alors que  $dx$  est la distance entre les intersections des fronts d'onde à  $t$  et  $t+\delta t$  et l'interface. Vitesse de propagation  $V = \frac{dl}{dt}$

$$\text{et } \sin \theta = \frac{dl}{dx} = \cos\left(\frac{\pi}{2} - \theta\right)$$

En éliminant  $dl$  des deux équations on obtient

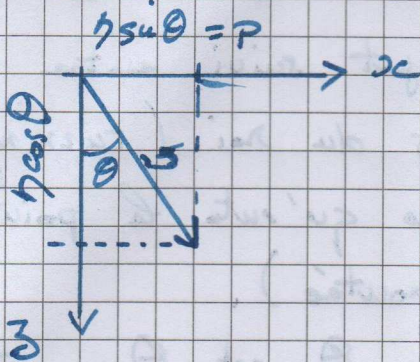
$$\sin \theta = \frac{V \delta t}{dx} \rightarrow dx = \frac{V}{\sin \theta} \delta t$$

À l'interface comme dans le milieu ①, comme dans le milieu ②  $dx$  est la même.

$$dx = \frac{V_1}{\sin \theta_1} \delta t = \frac{V_2}{\sin \theta_2} \delta t$$

On retrouve bien  $\frac{\sin \theta_1}{V_1} = \frac{\sin \theta_2}{V_2}$ . Cette quantité est propre au rai (et est unique), c'est le paramètre de rai  $p = \frac{\sin \theta}{V}$  (5.3)

On le note parfois  $p = \eta \sin \theta$  où  $\eta$  est la lenteur

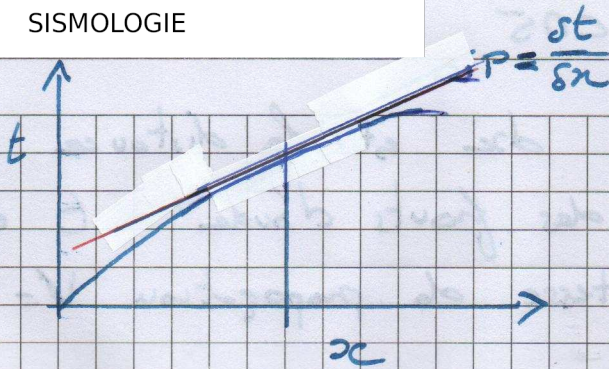


le vecteur  $\eta$  lenteur a le même sens que  $V$  la vitesse mais  $\eta = \frac{1}{V}$  (s/km)

$p$  est alors la projection de la lenteur  $\eta$  sur l'axe des  $x$  d'où son nom de lenteur horizontale

$$\text{la lenteur verticale } \eta \cos \theta = \sqrt{\eta^2 - p^2}$$

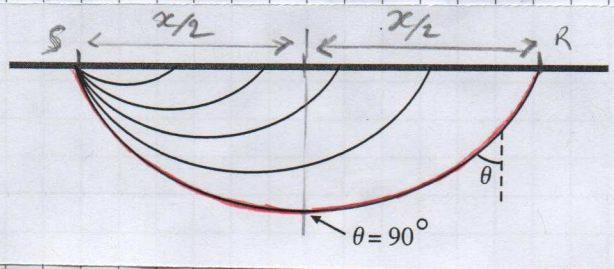
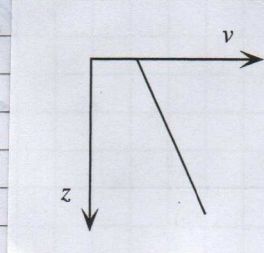
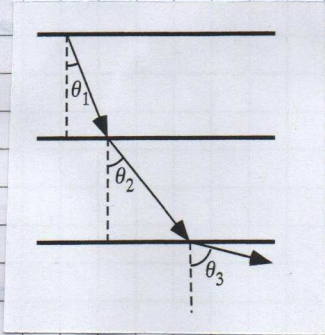
De plus  $p = \frac{\delta t}{\delta x}$  c'est la dérivée du temps de (5.4) par rapport à  $\delta x$ .



Pour une hodochrone  $t(x)$   
c'est donc la valeur de la  
tangente, en un  $x$  donné.

Ce qui est logique puisque pour chaque  $x$  (ie chaque couple source - récepteur) il y a un rai donc un seul paramètre de rai.

### 5.2 Tracés de rai dans des modèles latéralement homogènes



Quand une onde P ou S se propage dans un milieu on peut toujours considérer que localement il s'agit d'une succession de fines couches. Comme le milieu est latéralement homogène, le trajet suivi entre la surface et le point le plus bas du rai (turning point) est symétrique et donc le même qu'entre le point bas et la surface (dans le sens monté).

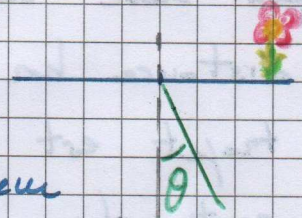
À la source l'angle de départ  $\theta$  est  $\theta_0$  et au niveau du point bas il vaut  $\frac{\pi}{2}$ .

Comme  $P = h \sin \theta$  on comprend pourquoi on l'appelle parfois l'auteur horizontale car quand  $\theta = \frac{\pi}{2}$ ,  $P = h$ .

Pour le rai rouge la distance horizontale totale  $x$

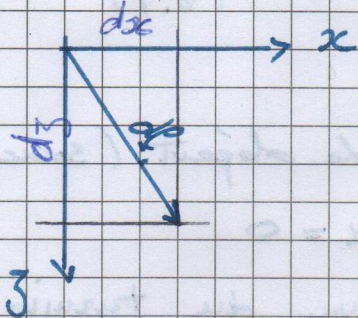
peut se décomposer en deux moitiés identiques.  
C'est évidemment vrai pour les autres rais mais ce diffère.

⚠  $\theta$  est l'angle par rapport à la normale à la surface donc la verticale.



Si on appelle  $dl$ , l'élément de longueur d'un rayon parcouru entre deux instants

(c'est un vecteur mais on parle ici de sa norme)



$$\frac{dx}{dl} = \sin \theta$$

$$\frac{dz}{dl} = \cos \theta = (1 - \sin^2 \theta)^{\frac{1}{2}}$$

Puisque  $p = h \sin \theta$  on a  $\frac{dx}{dl} = \frac{p}{h}$  et

$\frac{dz}{dl} = \left(1 - \frac{p^2}{h^2}\right)^{\frac{1}{2}}$  qui peut également s'écrire

$$\frac{dz}{dl} = \frac{1}{h} (h^2 - p^2)^{\frac{1}{2}} \quad (5.5)$$

Arrivés à tracer les rais dans ce type de modèles (littéralement homogènes) revient à déterminer la « trajectoire » donc exprimer  $x$  en fonction de  $z$ .

En introduisant les dérivées partielles  $\frac{dx}{dz} = \frac{dx}{dl} \frac{dl}{dz}$

$$\text{donc } \frac{dx}{dz} = \frac{p}{h} \frac{h}{(h^2 - p^2)^{\frac{1}{2}}} \text{ soit } dx = dz \frac{p}{(h^2 - p^2)^{\frac{1}{2}}}$$

et finalement

$$dx = \frac{p}{(\eta^2 - p^2)^{1/2}} dz \quad (5.6)$$

Il faut donc intégrer cette équation pour trouver  $x$  la distance horizontale. En utilisant le fait que le trajet est symétrique par rapport au turning point on peut donc d'abord écrire que

$$x(z_1, z_2, p) = \int_{z_1}^{z_2} \frac{p}{(\eta^2 - p^2)^{1/2}} dz \quad (5.7)$$

avec  $z_1$  la profondeur du point de départ (source) que l'on prend ici à 0  $z_1 = 0$

et on appelle  $z_p$  la profondeur du turning point. (celle où  $\eta = p$ ) et comme en plus  $p$  est constant on a alors

$$\frac{1}{2} x(p) = p \int_0^{z_p} \frac{dz}{(\eta^2 - p^2)^{1/2}} \quad (5.8)$$

soit finalement

$$x(p) = 2p \int_0^{z_p} \frac{dz}{(\eta(z)^2 - p^2)^{1/2}} \quad (5.9)$$

Au passage on rappelle ici que la hauteur  $\eta$  dépend de  $z \rightarrow \eta(z)$ , ce qui est normal car la vitesse dépend de  $z$ .

On retrouve l'éq (2.2) du TD 2 (gauche) avec  $\eta$ . Dans l'énoncé la hauteur est notée  $u$  ce qui était une mauvaise idée.

### 5.3 Temps de trajets dans des modèles stratifiés homogènes.

De manière similaire, on peut s'intéresser maintenant au temps de parcours.

Si  $\gamma$  est la lenteur  $\gamma = \frac{dt}{dl}$ ,  $dt = \gamma dl$

$$\text{or } \frac{dt}{dz} = \frac{dt}{dl} \frac{dl}{dz} = \frac{\gamma^2}{(\gamma^2 - p^2)^{1/2}} \quad (5.10) \quad \text{ou reprend eq (5.5)}$$

Pour les mêmes raisons que précédemment on a le temps total

$$T(p) = 2 \int_0^{\delta p} \frac{\gamma^2(z) dz}{(\gamma^2(z) - p^2)^{1/2}} \quad (5.11)$$

Ce sont les deux équations qui permettent de tracer les rais et de calculer les temps de propagation.

Pour ceux qui veulent savoir comment on résout ces équations dans un cas simple (ex. TD 2) lire ci-dessous, les autres peuvent aller directement au 5.5.

#### 5.4 Cas d'un modèle pour lequel $V$ soit linéairement

Comme dans le TD 2 on suppose que  $V(z) = a + bz$   
 donc  $\gamma(z) = \frac{1}{a + bz}$  (c'est l'inverse de la vitesse)

On repart de l'eq (5.7) et on exprime  $x$  comme une primitive

$$x(p, z) = \int_0^z \frac{1}{(\gamma^2 - p^2)^{1/2}} du \quad \text{officiellement on doit utiliser la variable } u \text{ car } z \text{ est dans } \delta \text{ borne}$$



mais on écrit plus simplement

$$x(p, z) = \int \frac{p dz}{(v^2 - p^2)^{1/2}} \quad \text{Pour déterminer}$$

cette intégrale on va se servir de la relation entre  $\theta$  (l'angle d'incidence) et  $z$ .

On sait que  $p = v \sin \theta$

$$\text{donc } v^2 - p^2 = v^2 - v^2 \sin^2 \theta = v^2 (1 - \sin^2 \theta) \\ = v^2 \cos^2 \theta$$

$$\text{et donc } \frac{1}{(v^2 - p^2)^{1/2}} = \frac{1}{v \cos \theta} \quad (5.12)$$

Il reste maintenant à travailler sur  $dz$ , pour cela on écrit que  $p = \text{cste}$  donc  $dp = 0$  (différentielle de  $p$ )

Si  $p = v \sin \theta$  alors  $dp = d(v \sin \theta)$

$$\text{soit } dp = \sin \theta dv + v d \sin \theta = 0$$

Comment trouver  $dv$  et  $d \sin \theta$  ?

$$d \sin \theta = \cos \theta d\theta \quad \text{OK}$$

$$dv = d\left(\frac{1}{v}\right) = d\left(\frac{1}{a+bz}\right) \quad d\left(\frac{1}{f}\right) = \frac{-df}{f^2}$$

$$\text{avec ici } f = a + bz \rightarrow df = b dz$$

$$\text{donc } dv = \frac{-b dz}{(a+bz)^2} = -v^2 b dz$$

on peut maintenant utiliser  $dp = 0$

$$\text{et donc } 0 = -\sin \theta v^2 b dz + v \cos \theta d\theta$$

$$\text{soit } \underbrace{b v \sin \theta}_{p} dz = \cos \theta d\theta$$

$$\text{et donc } dz = \frac{\cos \theta d\theta}{pb}$$

le va venir plus maintenant qu'à se mettre tout le monde dans l'intégrale.

$$x = \int \underbrace{p \sin \theta}_{p} \underbrace{\frac{1}{b \cos \theta}}_{\frac{1}{(b^2 - p^2)^{1/2}}} \underbrace{\frac{\cos \theta}{pb}}_{dz} d\theta$$

et finalement  $x = \frac{1}{pb} \int \sin \theta d\theta$  c'est beau non ?

et en intégrant on obtient

$$x = -\frac{1}{pb} \cos \theta + K$$

il faut maintenant revenir en  $z$ .

comme  $\cos^2 \theta + \sin^2 \theta = 1$

$$\cos \theta = \pm (1 - \sin^2 \theta)^{1/2} = \pm \left(1 - \frac{p^2}{b^2}\right)^{1/2}$$

donc  $\cos \theta = \pm \left(1 - p^2(a+bz)^2\right)^{1/2}$

et c'est pour cela que  $x = \pm \frac{1}{pb} \left[1 - (pbz + pa)^2\right]^{1/2} + K$

On choisit la solution - pour aller dans le bon sens mais les deux sont bonnes.

$$x(p, z) = K - \frac{1}{pb} \left[1 - (pb(z + \frac{a}{b}))^2\right]^{1/2}$$

petits réamougements...

$$x(p, z) = K - \frac{1}{pb} \left[p^2 b^2 \left(\frac{1}{p^2 b^2} - \left(z + \frac{a}{b}\right)^2\right)\right]^{1/2}$$

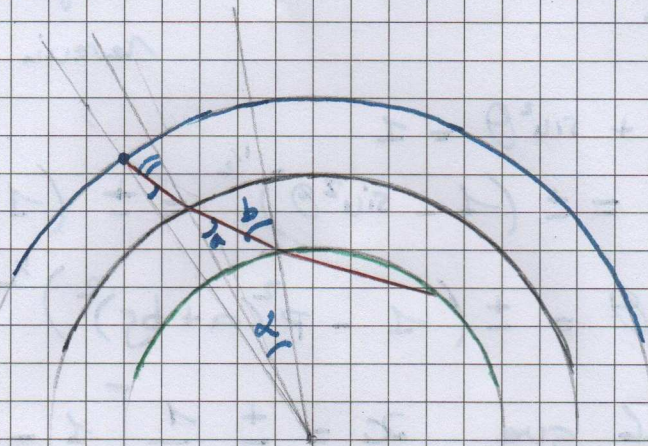
et enfin  $x(p, z) = K - \left[\frac{1}{p^2 b^2} - \left(z + \frac{a}{b}\right)^2\right]^{1/2}$

Cette démonstration est importante car mis à part les derniers développements de la fin pour arriver à l'équation d'un cercle on voit que l'on résout l'intégral en faisant intervenir l'angle  $\theta$ .

L'angle que fait le ray avec le verticale dépend du module de vitesse. Au point le plus bas  $\theta = \frac{\pi}{2}$ .

### 5.5 Coordonnées sphériques

On va retrouver la même genre d'équations avec la différence que le paramètre de ray prend une autre forme



En raison de la différence de rayon l'angle  $\theta$  n'est pas constant dans chaque couche. par exemple  $a \neq b$

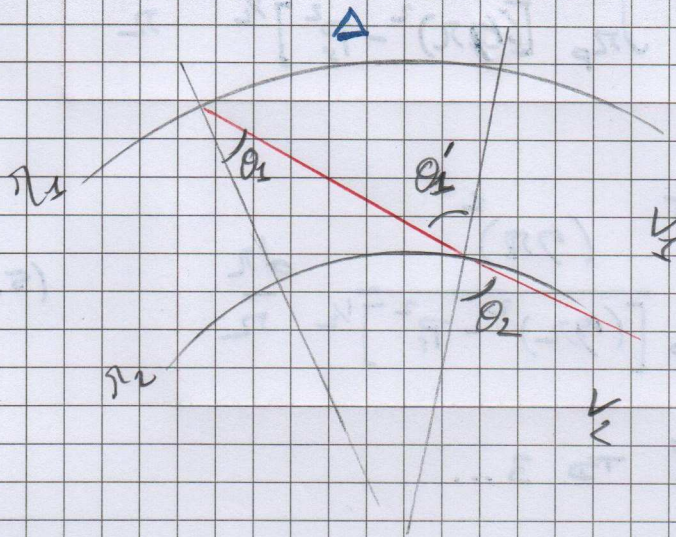
Si on revient à la seule quantité qui est préservée c'est la longueur horizontale donc ici  $r \alpha$  avec  $\alpha$  l'angle au centre c'est pour cela que le paramètre de ray s'écrit

$$P_s = \frac{r \sin \theta}{v}$$

On le note  $P_s$  pour le distinguer avec  $P$  (cartésien)

La loi de Snell - Descartes devient alors

$$\frac{r_1 \sin \theta_1}{v_1} = \frac{r_2 \sin \theta_2}{v_2} \quad (5.12)$$



Si le ray est dans le couche  $v_1$  ou a

$$r_1 \sin \theta_1 = r_2 \sin \theta_2$$

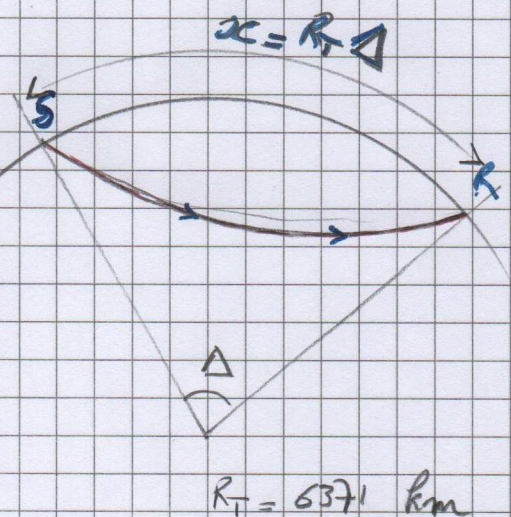
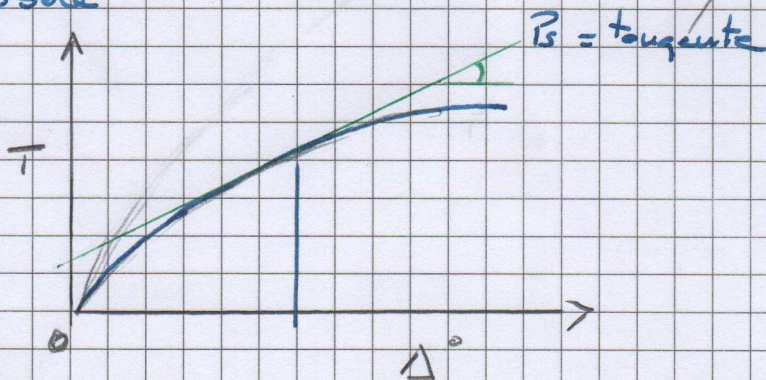
et si le ray change de milieu  $v_1 \rightarrow v_2$

$$\frac{\sin \theta_1'}{v_1} = \frac{\sin \theta_2}{v_2}$$

Si on note  $\Delta$  la distance épicaentrale (c'est à dire la distance horizontale à la surface de la Terre), on a

$$P_s = \frac{r \frac{dT}{dr}}{\frac{dT}{d\Delta}} = \frac{dT}{d\Delta}$$

c'est la dérivée d'une hodochrone globale



les équations (5.9) et (5.11) deviennent alors

$$\Delta(P_s) = 2 P_s \int_{r_p}^{r_T} \frac{1}{[(r)^2 - P_s^2]^{1/2}} \frac{dr}{r} \quad (5.13)$$

et

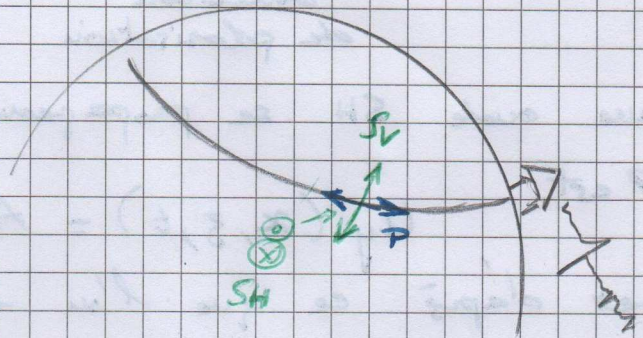
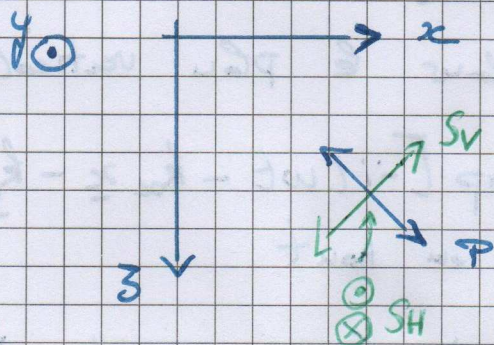
$$T(P_s) = 2 \int_{r_p}^{r_T} \frac{(r)^2}{[(r)^2 - P_s^2]^{1/2}} \frac{dr}{r} \quad (5.14)$$

la suite dans le TD 3...

## Reflexion et transmission

Nous avons vu que le théorème des nœuds permettait de tracer les nœuds (trajectoires suivies par les ondes) en fonction du modèle. Nous n'avons pas encore parlé de l'amplitude de l'onde et donc de l'énergie.

Tout le raisonnement sur feu sur une onde SH et ensuite on généralise au cas P-SV

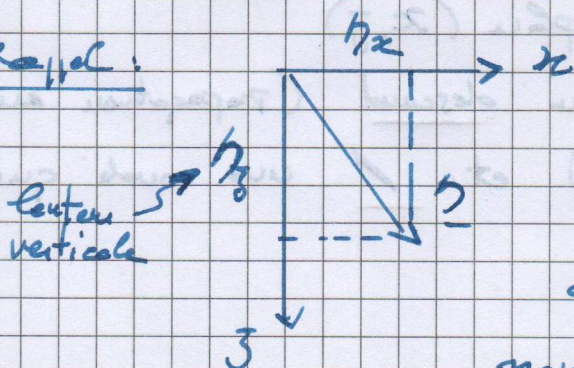


SV est l'onde S polarisée dans le plan vertical et SH est l'onde S polarisée horizontalement

Dans un repère cartésien  $x, y, z$  - si l'onde P se propage dans le plan vertical <sup>(xz)</sup> alors :

- la polarisation de P est dans le plan vertical
- l'onde SV se propage et est polarisée dans le plan vertical
- l'onde SH se propage dans le plan vertical mais est polarisée suivant y

Rappel :



La hauteur est un vecteur dirigé dans la même direction que la vitesse  $V$  - il se projette en  $(H_x, 0, H_z)$  et  $H_x = P$

$$\omega = \frac{2\pi}{T} \quad \text{et} \quad \underline{k} = \frac{2\pi}{d} ; \text{ comme } d = \underline{c}T$$

$$\text{ou } \underline{k} = \frac{\omega}{\underline{c}} \quad \text{soit} \quad \underline{k} = \underline{\omega} \cdot \begin{pmatrix} k_x \\ k_y \\ k_z \end{pmatrix} = \omega \begin{pmatrix} \gamma_x \\ \gamma_y \\ \gamma_z \end{pmatrix}$$

Donc si une onde (ou sous-général) s'écrit

$$\underline{u}(x, y, z, t) = \underline{A} \exp \left[ -i(\omega t - \underline{k} \cdot \begin{pmatrix} x \\ y \\ z \end{pmatrix}) \right]$$

$\uparrow$  direction de polarisation       $\uparrow$  fréquence de l'onde       $\uparrow$  direction de propagation

une onde SH se propageant dans le plan vertical  $(x, z)$

est

$$u_y(x, z, t) = A_y \exp[-i(\omega t - k_x x - k_z z)]$$

et d'après ce que l'on écrit en haut

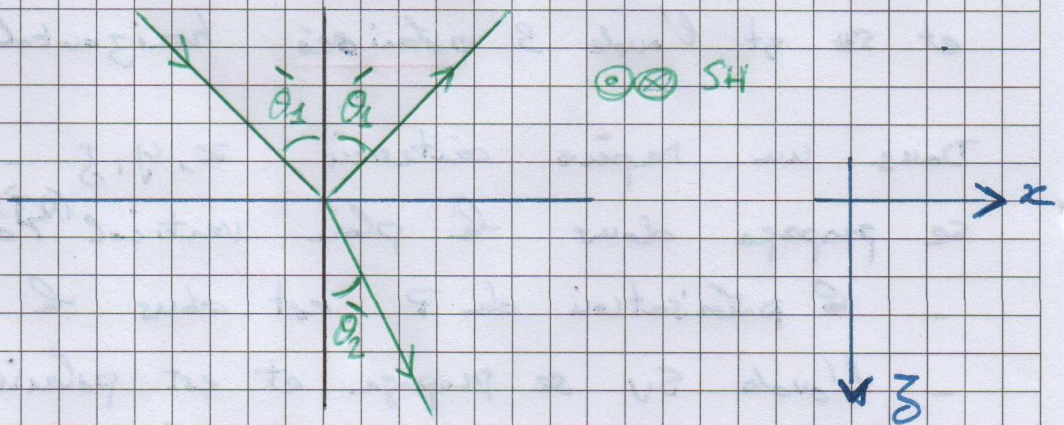
$$u_y(x, z, t) = A_y \exp[-i\omega(t - \gamma_x x - \gamma_z z)]$$

①,  $(\beta_1)$

interface

②,  $(\beta_2)$

ici  $\beta_2 < \beta_1$



La polarisation de SH est bien suivant  $y$  mais sa direction de propagation est dans le plan  $(x, z)$

ou voit une onde qui descend (propagation en direction des  $z$  positifs) et une onde qui monte ( $z$  négatifs).

La loi de Snell - Descartes est toujours valable. ~~car~~  
 si  $\beta_1$  est la vitesse des ondes S dans le milieu ①  
 et  $\beta_2$  dans le milieu ②  
 donc si  $\gamma_1 = \frac{1}{\beta_1}$  et  $\gamma_2 = \frac{1}{\beta_2}$  ou a

$$\gamma_1 \sin \theta_1 = \gamma_2 \sin \theta_2 = \gamma_2 \sin \theta_2$$

Ceci permet de dire que  $\theta_1 = \theta_2$  et  ~~$\theta_1 = \theta_2$~~

$$\theta_2 = \arcsin \left( \frac{\gamma_1}{\gamma_2} \sin \theta_1 \right)$$

De plus si une onde SH descend au centre

$$u_y(x, z, t) = A_y \exp[-i\omega(t - px - \gamma_3 z)]$$

alors que si elle monte,

$$u_y(x, z, t) = A_y \exp[-i\omega(t - px + \gamma_3 z)]$$

Au niveau de l'interface ( $z=0$ ) on a donc  
 dans le milieu ①

$$u_{y1} = \tilde{A}_1 \exp[-i\omega(t - px)] + \tilde{A}'_1 \exp[-i\omega(t - px)]$$

et dans le milieu ②

$$u_{y2} = \tilde{A}_2 \exp[-i\omega(t - px)]$$

On considère une interface entre deux milieux solides  
 (surtout pas d'ondes S, ça serait dommage :-)

→ continuité du déplacement  $u_{y1} = u_{y2}$

→ continuité de la traction  $\frac{\partial u_{y1}}{\partial z} = \frac{\partial u_{y2}}{\partial z} \Rightarrow \epsilon_{31} = \epsilon_{32}$

Pour le déplacement on a immédiatement  $\tilde{A}_1 + \tilde{A}'_1 = \tilde{A}_2$



Donc si on pose que  $\hat{A}_1 = 1$ ,

$$1 + \hat{A}_1 = \hat{A}_2 \quad (1)$$

Reste à travailler sur le traction qui s'exerce sur la surface ~~(y,z)~~ donc orthogonale à  $\vec{z}$ .

$$\underline{t}_z = \begin{pmatrix} \tau_{xz} \\ \tau_{yz} \\ \tau_{zz} \end{pmatrix} \quad \text{et on se place dans un milieu isotrope donc}$$

$$\tau_{ij} = \alpha \theta \delta_{ij} + 2\mu \epsilon_{ij} \quad (\text{voir cours précédents})$$

la seule contrainte non nulle est  $\tau_{yz}$ ,

$$\tau_{yz} = \tau_{zy} = \mu \frac{\partial u_y}{\partial z}$$

Il suffit donc de dériver  $u_y$  par rapport à  $z$

onde descendante (down going)  $\tau_{yz} = -\mu \frac{1}{3} \hat{A} \exp[-i\omega(t - px - \frac{1}{3}z)]$

onde montante (up going)  $\tau_{yz} = +\mu \frac{1}{3} \hat{A} \exp[-i\omega(t - px + \frac{1}{3}z)]$

Au niveau de l'interface  $z=0$

dans le milieu ①  $\tau_{yz1} = -(\hat{A}_1 - \hat{A}_2) \mu_1 \frac{1}{3} \exp[-i\omega(t - px)]$

②  $\tau_{yz2} = -\hat{A}_2 \mu_2 \frac{1}{3} \exp[-i\omega(t - px)]$

Si  $\tau_{yz1} = \tau_{yz2}$  on a  $(\hat{A}_1 - \hat{A}_2) \mu_1 \frac{1}{3} = \hat{A}_2 \mu_2 \frac{1}{3}$

En posant que  $\hat{A}_1 = 1$ , on a

$$(1 - \hat{A}_2) \mu_1 \frac{1}{3} = \hat{A}_2 \mu_2 \frac{1}{3} \quad (2)$$

En utilisant l'éq (1) dans (2) on obtient

$$(1 - A_1) \mu_1 \gamma_{31} = (1 + A_1) \mu_2 \gamma_{32}$$

$$\text{soit } \bar{A}_1 = \frac{\mu_1 \gamma_{31} - \mu_2 \gamma_{32}}{\mu_1 \gamma_{31} + \mu_2 \gamma_{32}} \quad (3)$$

et on l'amplitude de l'onde transmise dans le milieu (2)

$$\bar{A}_2 = \frac{2 \mu_1 \gamma_{31}}{\mu_1 \gamma_{31} + \mu_2 \gamma_{32}} \quad (4)$$

Ondes SH vitesse  $\beta = \frac{1}{\gamma} = \sqrt{\frac{\mu}{\rho}}$

$$\text{donc } \gamma_3 = \gamma \cos \theta = \frac{\cos \theta}{\beta} \quad \text{et } \beta^2 = \frac{\mu}{\rho}$$

ce qui permet d'écrire que  $\mu_1 \gamma_{31} = \rho_1 \beta_1 \cos \theta_1$   
et  $\mu_2 \gamma_{32} = \rho_2 \beta_2 \cos \theta_2$

Et finalement

$$\bar{S}_S = \frac{\rho_1 \beta_1 \cos \theta_1 - \rho_2 \beta_2 \cos \theta_2}{\rho_1 \beta_1 \cos \theta_1 + \rho_2 \beta_2 \cos \theta_2}$$

et

$$\bar{S}_T = \frac{2 \rho_1 \beta_1 \cos \theta_1}{\rho_1 \beta_1 \cos \theta_1 + \rho_2 \beta_2 \cos \theta_2}$$

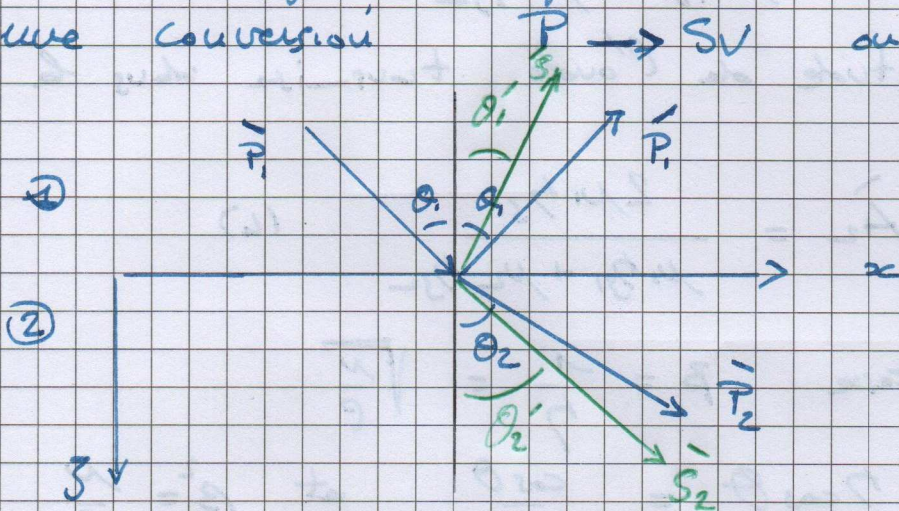
Ces relations expliquent comment l'énergie se dissipe et crée des ondes réfléchies et réfractées.

Pour le cas des ondes P et SV les choses sont plus compliquées.

Dans le plan vertical  $(x, z)$  les ondes P et SV sont toutes les deux polarisées dans ce plan également.

Quand il faut faire des bilans d'énergie au passage d'une interface il faut donc prendre en compte une conversion

$P \rightarrow SV$  ou  $SV \rightarrow P$ .



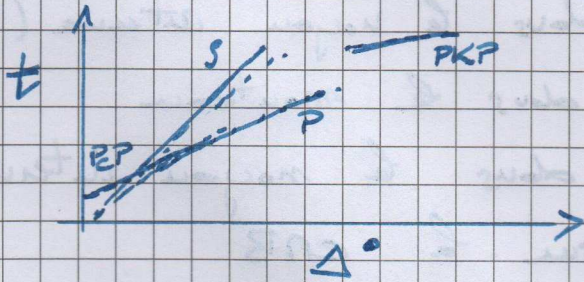
C'est par ce que en traversant le vaupe liquide les ondes SH disparaissent, les ondes SV se convertissent en ondes P.

Puis en rentrant dans le graine  $P \rightarrow SV$

Nomenclature

La théorie des rais implique que chacune des arrivées d'ondes doit trouver sa place dans un schéma global

→ hodochrone



Ces portions de courbes portent le nom de "phase" ou "branche"

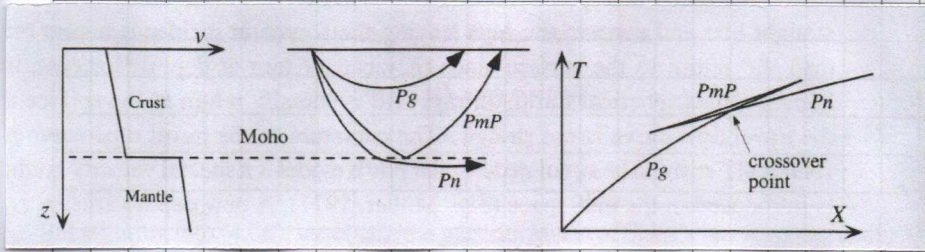
⚠ Théorie des rais  $\Leftrightarrow$  signal balistique (ie  $f$  arrivées)

Croûte océane ép. 6-10 km  
continentale ép. 30-50 km

La lettre "g" est réservé par les ondes se propageant dans la croûte  $P_g, S_g$

La lettre "m" sert à indiquer qu'il y a réflexion sur la Moho  $P_mP, P_mS, S_mS \dots$

La lettre "n" indique une onde réfractée sous la Moho (angle de réfraction  $> \frac{\pi}{2}$ ; voir ex 2) 2.4 et 2.6



Sur la hodochrone il y a une triple intersection pour qqs valeurs de X

Il peut y avoir 3 arrivées d'ondes  $P, P_g, P_n, P_mP$  ou  $P_n, P_g, P_mP$

L'onde  $P_n$  arrive donc avant  $P_g$  à partir d'une certaine distance

À l'échelle globale il faut bien distinguer les ondes P et S car interactives P, Sv.

P : ondes P dans le manteau

K : ondes P dans le noyau externe (liquide)

I : ondes P dans le noyau interne (solide)

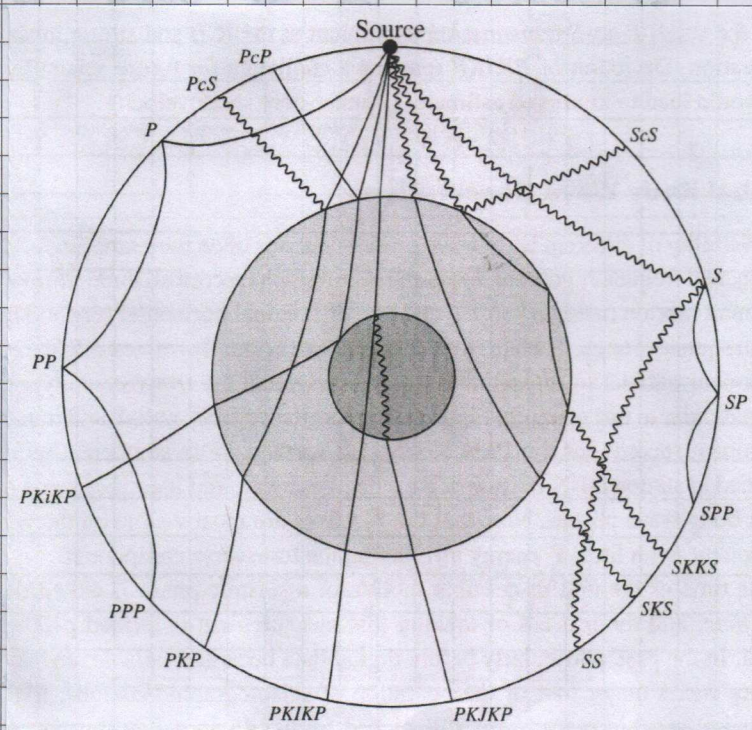
S : ondes S dans le manteau

J : ondes S dans le noyau interne (solide)

c : réflexion sur la CNB

i : réflexion sur la ICB

Pour les sources profondes les ondes qui remontent sont notées avec des minuscules pP, sS, sP ... (deep quakes)



exo  
dessin

SKIKP, ScP, PPP, PKJKS